

## 5 - 4 御前崎地方の地殻変動

### Crustal Movement in the Omaezaki Region

国土地理院

Geographical Survey Institute

第1図は掛川－御前崎間の最近1年間の上下変動で、第2図は水準点2595の経年変化である。季節的変動を繰り返しながら御前崎側が沈下するという従来の傾向が続いているが、季節的変動の「谷」が今冬は少し前にずれた。

第3、第4図は静岡県の測量による水準点2602－1、2601の経年変化であるが、上述の位相のずれが表われており、これが共通の現象であることを示している。

第5図は沼津（J60）～ 静岡（128－1）間の上下変動であるが、変化はない。

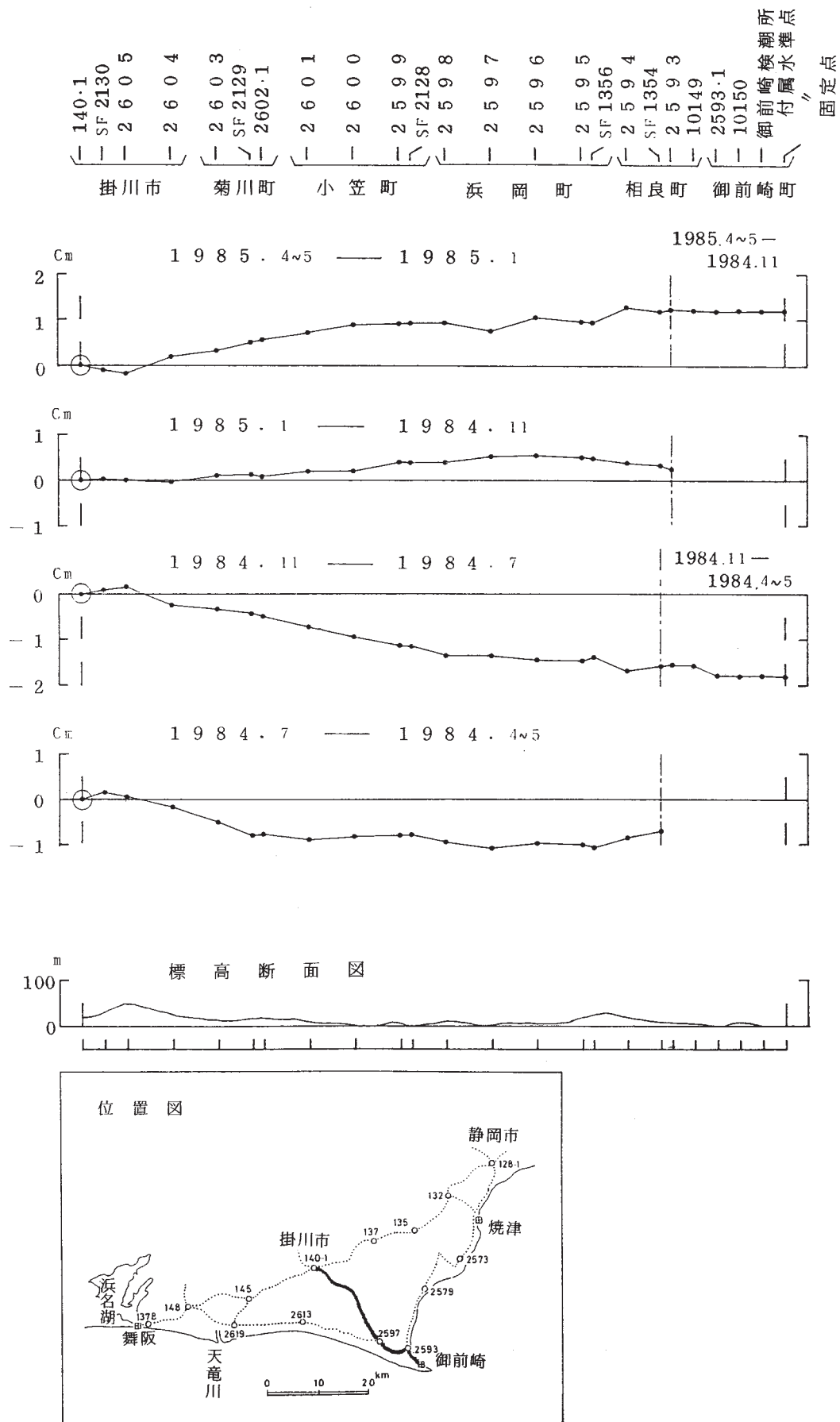
第6図は駿河湾周辺部の各験潮場間の月平均潮位差である。特筆すべきことはない。

第7図は御前崎精密変歪測量結果である。南北圧縮、東西伸長の結果が得られた。

第8、9図はメコメータによる浜岡地区および小笠地区における放射基線測量結果である。ほぼ南北方向に近い圧縮が得られており、第7図と調和的である。歪変化に特に異常は認められない。

### 参 考 文 献

- 1) 国土地理院：東海地方の上下変動，連絡会報，**31**（1984），303－315.
- 2) 国土地理院：東海地方の上下変動，連絡会報，**32**（1984），255－261.
- 3) 国土地理院：東海地方の上下変動，連絡会報，**33**（1985），299－311.

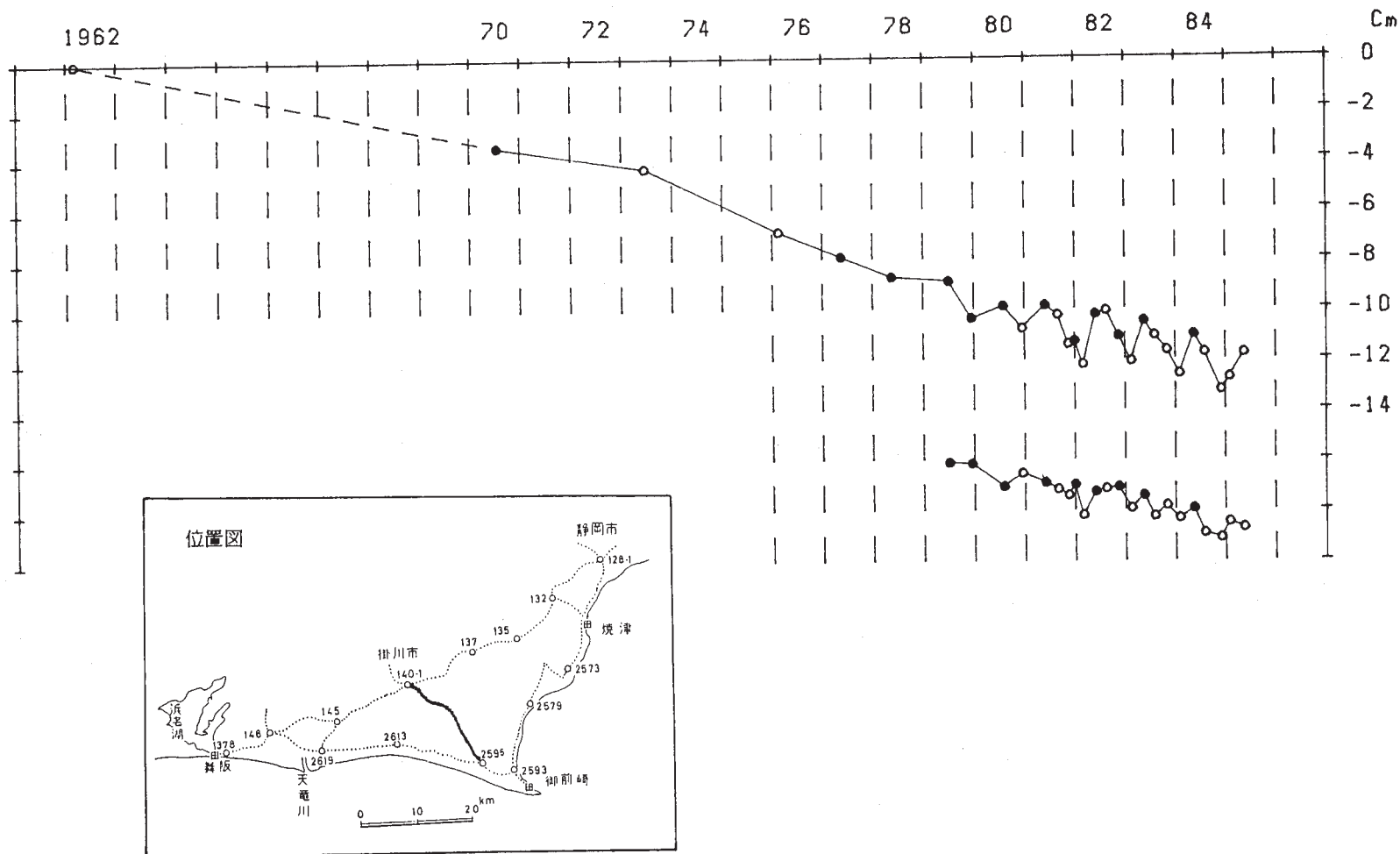


第1図 掛川-御前崎間の上下変動

Fig. 1 Level changes along the route from Kakegawa to Omaezaki.

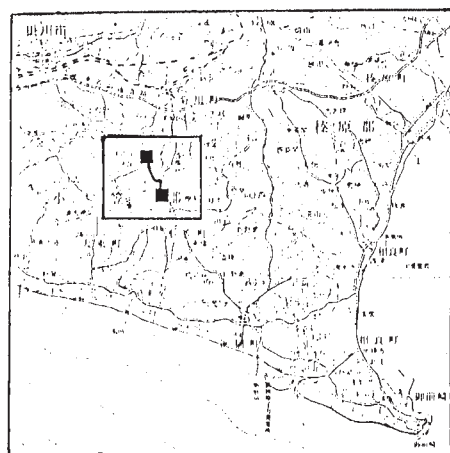
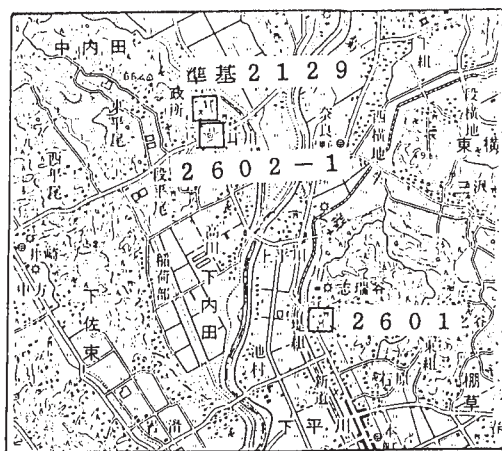
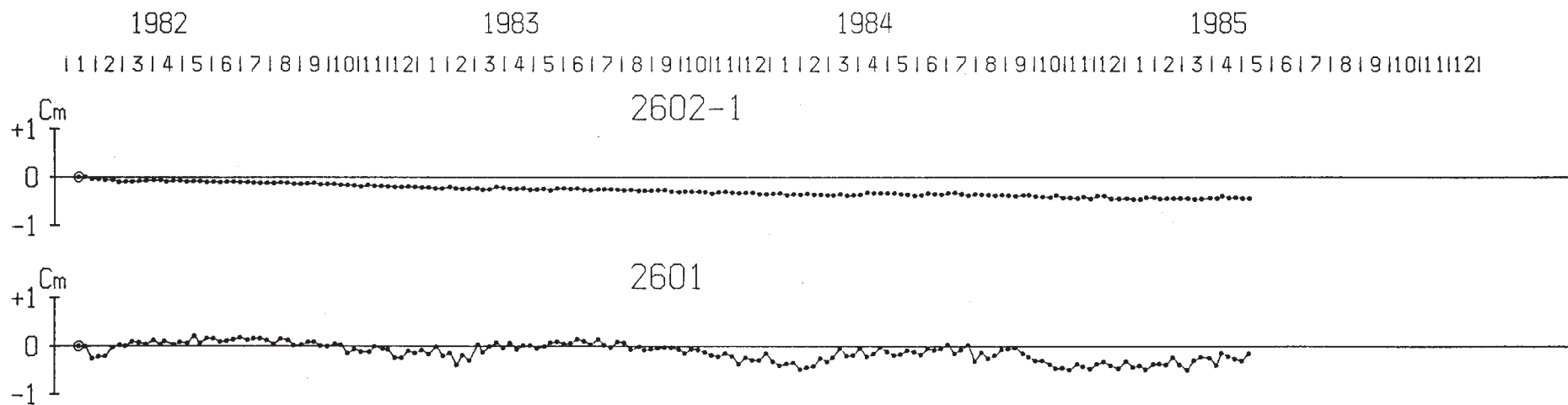
基準：140-1 基準年：1962

●：網平均計算値による。  
○：突き出し観測値による。



第2図 水準点2595（浜岡町）の経年変化

Fig. 2 Height changes of B.M. 2595 in Hamaoka Town relative to B.M. 140-1.

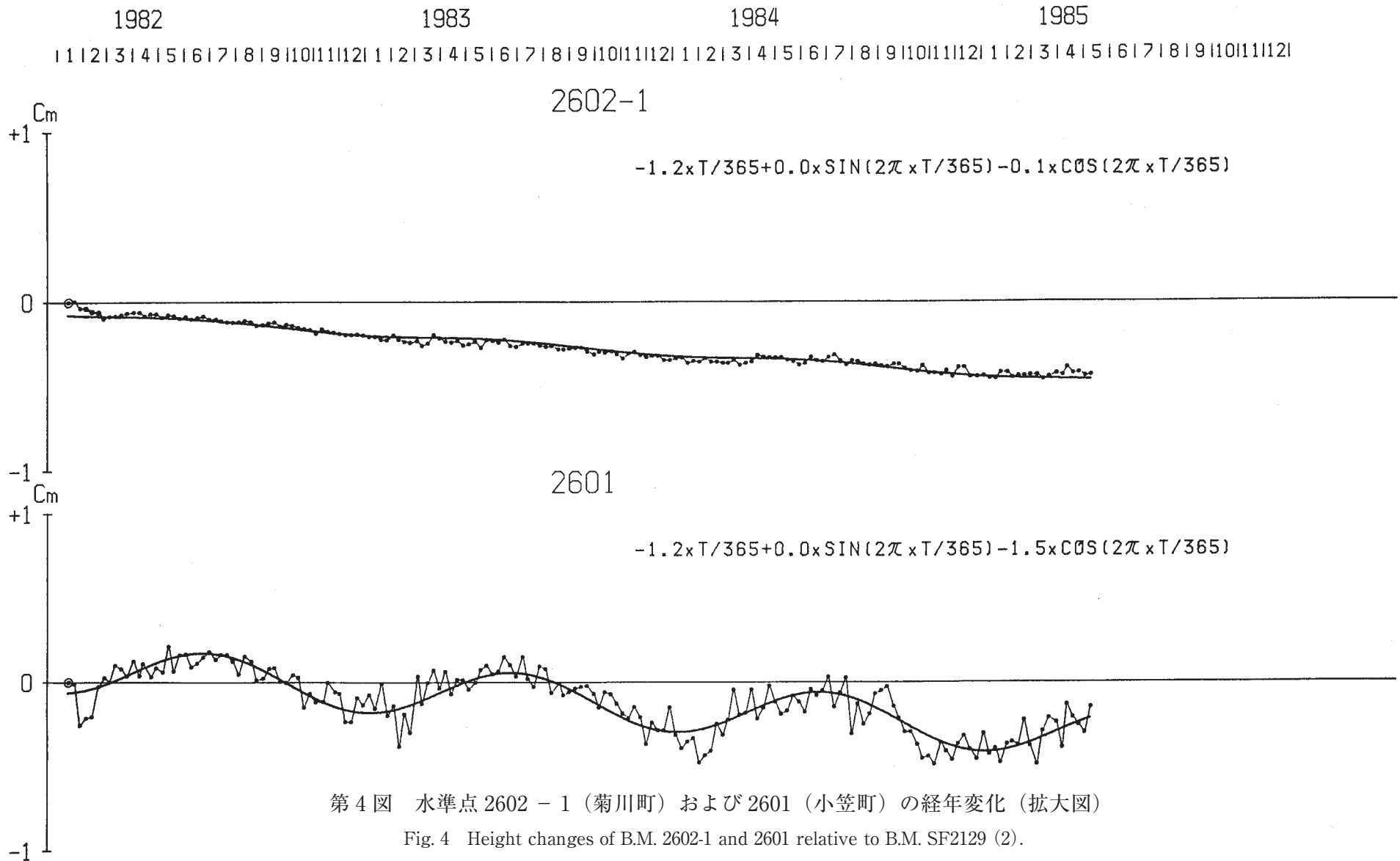


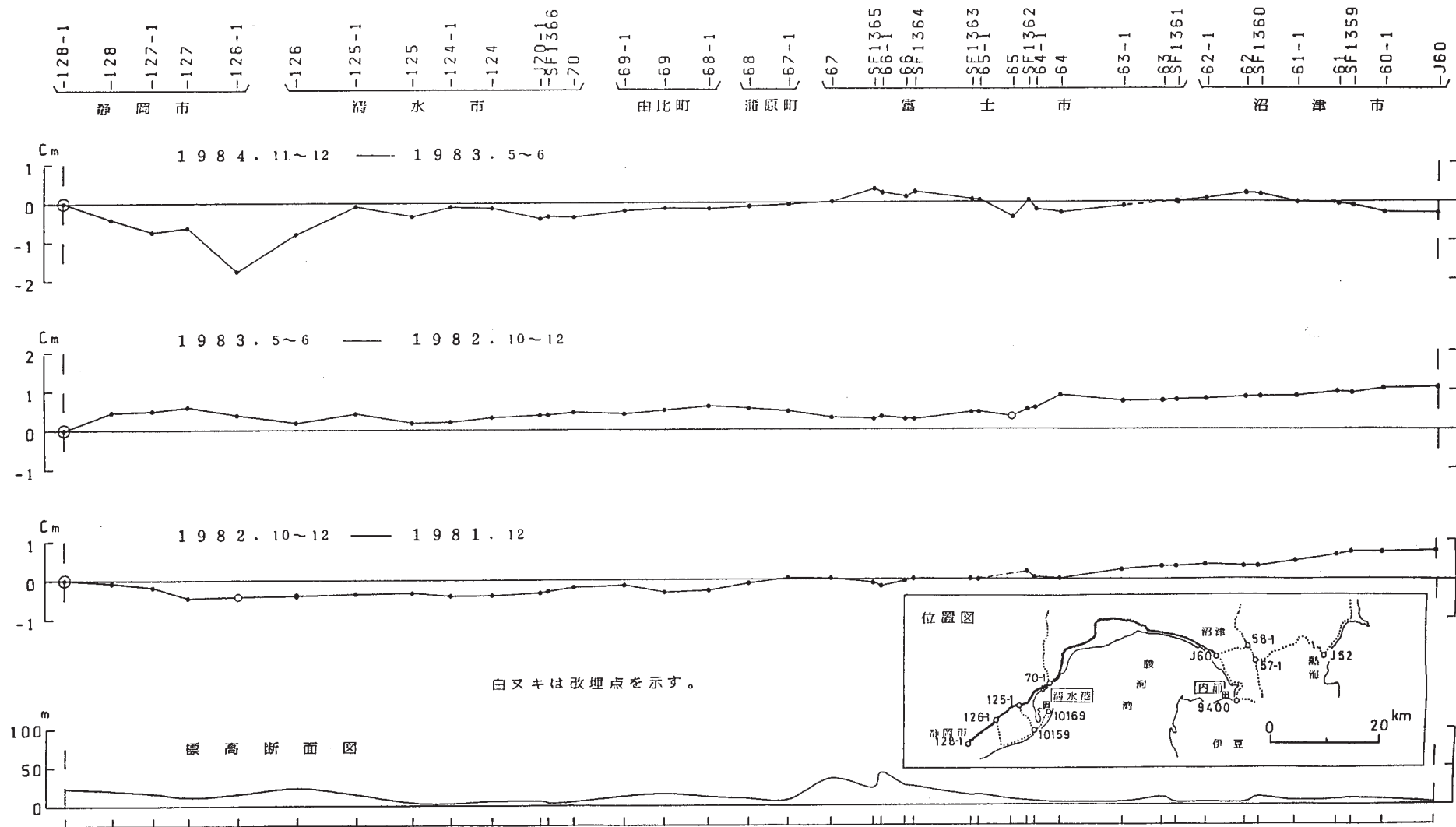
0 2 Km

0 2 Km

第3図 水準点2602-1(菊川町)および2601(小笠町)の経年変化(1)

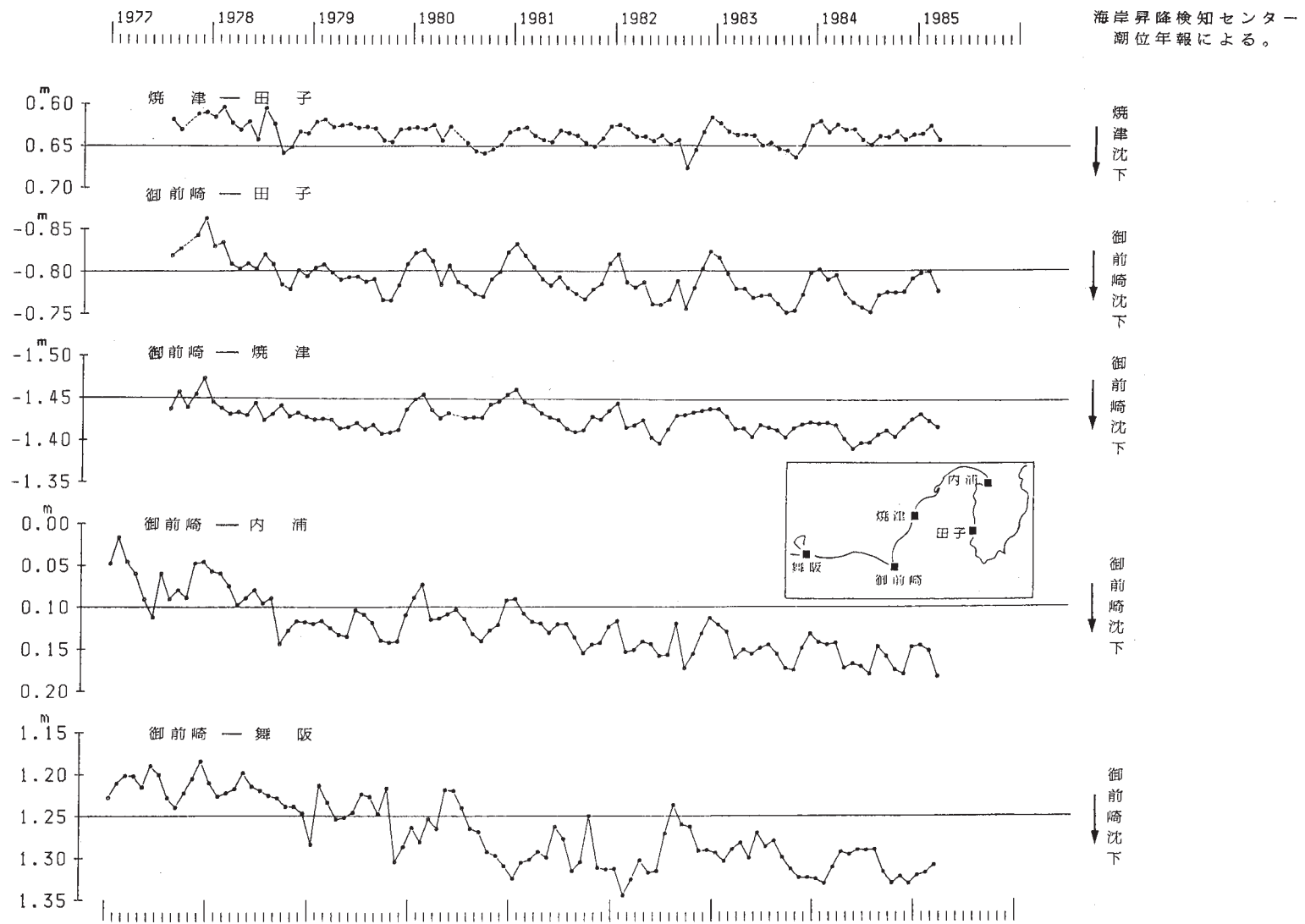
Fig. 3 Height changes of B.M. 2602-1 and 2601 relative to B.M. SF2129 (1).





第5図 静岡～沼津間の上下変動

Fig. 5 Level changes along the route from Shizuoka to Numazu.



第6図 東海地方各験潮場の月平均潮位差

Fig. 6 Differences in monthly mean sea level from tidal station pairs in the Tokai region.

測定年 区 間	1974.04	75.11	76.11	77.11	78.05	78.11	79.12	80.02	80.12	81.12	82.12	83.12	84.12
	坂部村 - 高草山	18335.45 <sup>m</sup>	.45	.44	.43	.45	.46	.47	.47	.45	.44	.43	.48
坂部村 - 御前崎	18487.72	.72	.72	.70	.71	.72	.72	.72	.69	.67	.66	.71	.69
坂部村 - 横岡	13071.67	.65	.66	.64	.65	.65	.66	.66	.63	.62	.62	.65	.67

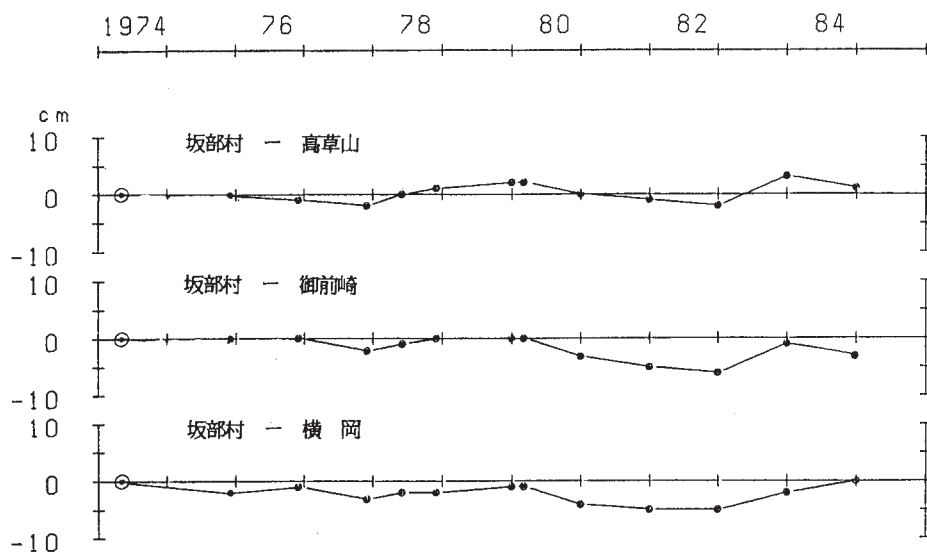
水平歪

辺長変化

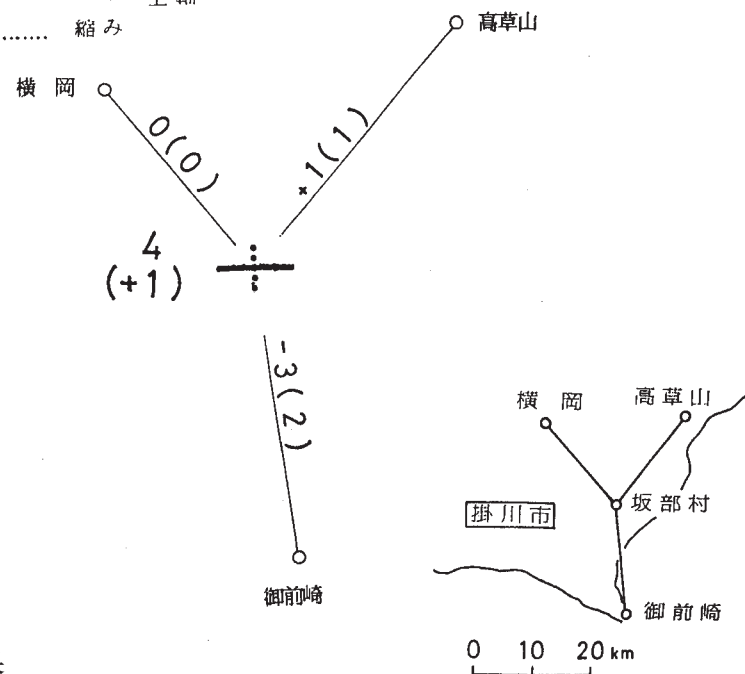
比較年 1984.12 - 1974.4  
 数値：最大せん断歪  $10^{-6}$   
 ( )：面積変化率  $10^{-6}$

比較年 同左  
 単位：Cm  
 ( )： $\Delta S/S \cdot 10^{-6}$

距離の経年変化



$2 \times 10^{-6}$  伸び 主軸  
 ..... 縮み



第7図 御前崎精密変歪測量結果

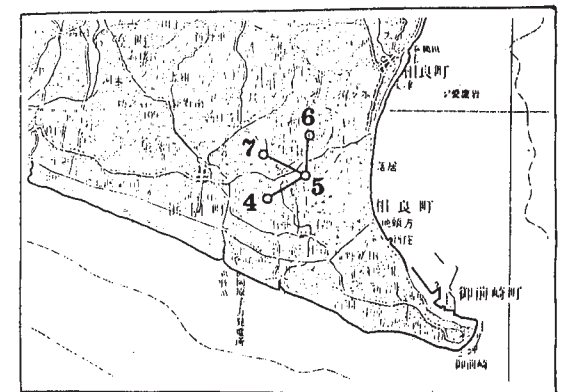
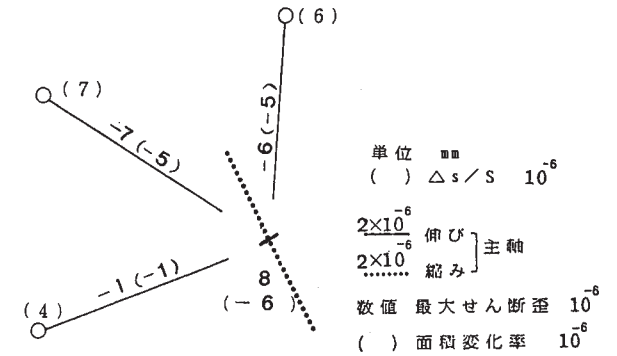
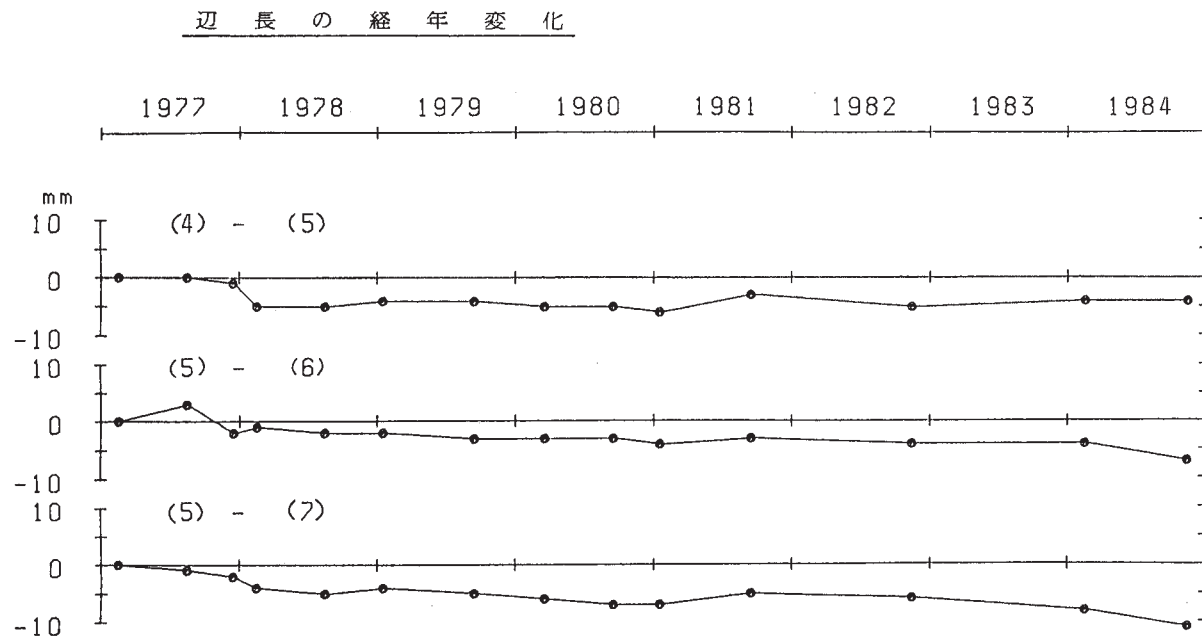
Fig. 7 Results of precise radial base-line strain measurements in the Omaezaki region.



測定年 区間	1977.02	77.08	77.12	78.02	78.08	79.01	79.09	80.03	80.09	81.01	81.09	82.11	84.02	84.11
	(4) - (5)	1268.240 <sup>m</sup>	.240 <sup>m</sup>	.239 <sup>m</sup>	.235 <sup>m</sup>	.235 <sup>m</sup>	.236 <sup>m</sup>	.236 <sup>m</sup>	.235 <sup>m</sup>	.235 <sup>m</sup>	.234 <sup>m</sup>	.237 <sup>m</sup>	.235 <sup>m</sup>	.236 <sup>m</sup>
(5) - (6)	1186.477	.480	.475	.476	.475	.475	.474	.474	.474	.473	.474	.473	.473	.470
(5) - (7)	1408.410	.409	.408	.406	.405	.406	.405	.404	.403	.403	.405	.404	.402	.399

測器：メコメーター ME3000

辺長変化・水平歪  
1984.11 - 1978.2



第8図 御前崎（浜岡地区）精密変歪測量結果

Fig. 8 Results of precise radial base-line strain measurements in the Hamaoka region.

測定年 区 間	1984.03	84.11	2-1
(8) - (9)	955.589 <sup>m</sup>	.587 <sup>m</sup>	<sup>mm</sup> -2
(8) - (10)	1142.753	.752	-1
(8) - (11)	1454.128	.126	-2
(8) - (12)	1306.768	.766	-2

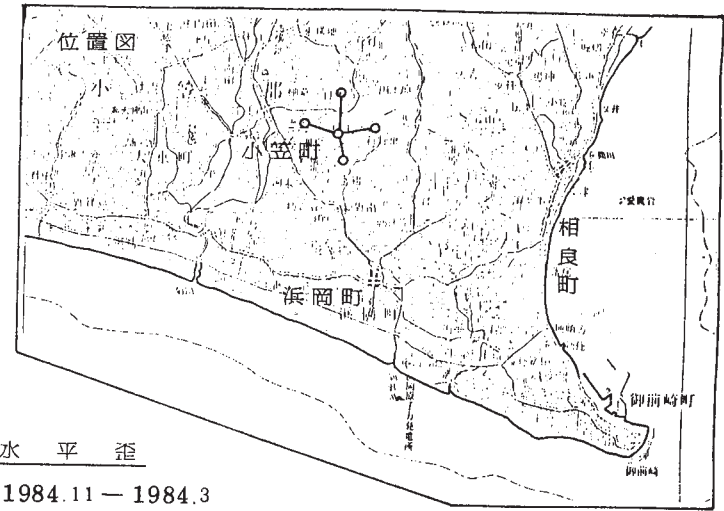
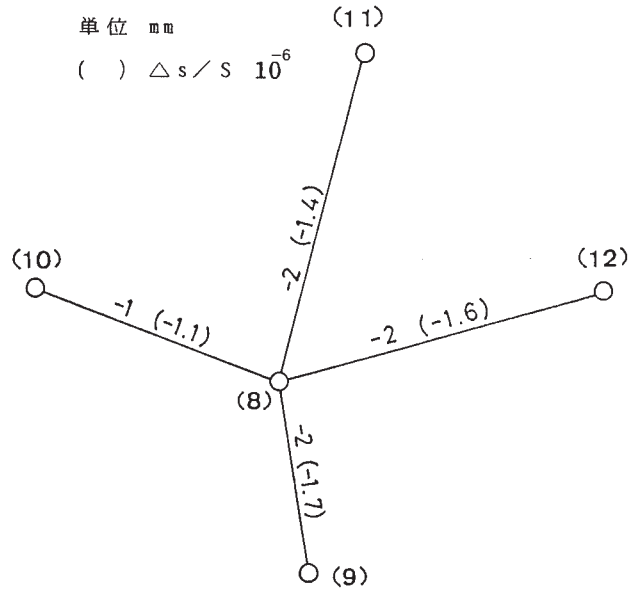
測器：メコメーター ME3000

辺長変化

1984.11 - 1984.3

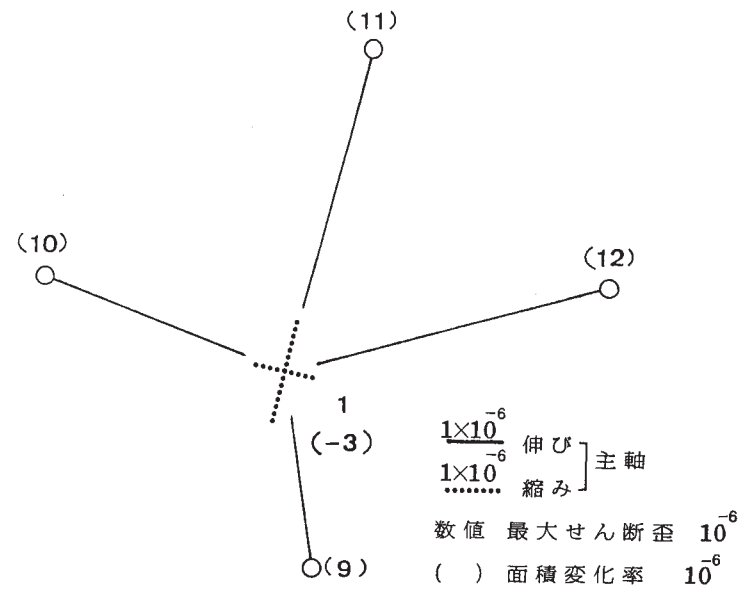
単位 mm

( )  $\Delta s / S \cdot 10^{-6}$



水平歪

1984.11 - 1984.3



第9図 御前崎（小笠地区）精密変歪測量結果

Fig. 9 Results of precise radial base-line strain measurements in the Ogasa region.